

ارائه یک روش پنهان‌شکنی از تصاویر پنهان‌نگاری شده در حوزه تبدیل موجک

حیدر باجلان^۱، محمد پویان^۲، سید وهاب شجاع‌الدینی^۳

^۱ دانشگاه آزاد اسلامی واحد قزوین، دانشکده مهندسی برق، پزشکی و مکترونیک، h.bajalan@qiau.ac.ir

^۲ دانشگاه شاهد، دانشکده مهندسی، pooyan@shahed.ac.ir

^۳ سازمان پژوهش‌های علمی و صنعتی ایران، پژوهشکده برق و فناوری اطلاعات، shojadini@irost.ir

چکیده

در این مقاله، یک روش پنهان‌شکنی برای تصاویر پنهان‌نگاری شده در حوزه موجک ارائه شده است. در این روش، ویژگی‌های استخراج شده شامل گشتاورهای تابع مشخصه حاصل از هیستوگرام مرتبه دوم بدست آمده از تصویر می‌باشد. بردار ویژگی بدست آمده دارای ۲۴ بعد می‌باشد که شامل چهار مجموعه شش تایی از گشتاورهای تابع مشخصه دو بعدی است. هر مجموعه شش تایی گشتاورها از یک ماتریس هیستوگرام مرتبه دوم با یک جدایی خاص بدست می‌آید. بردار ویژگی بدست آمده برای دسته بندی به ماشین بردار پشتیبان داده می‌شود تا در مورد پوشانه یا گنجانده بودن تصویر تصمیم‌گیری کند. روش پیشنهادی برای پنهان‌شکنی از دو روش پنهان‌نگاری در حوزه موجک جدید بکار گرفته شد. نتایج آزمایش‌ها نشان می‌دهد که روش‌های پیشنهادی، نتایج آشکارسازی روش‌های پنهان‌شکنی موجود، که بر روی تصاویر پنهان‌نگاری شده در حوزه موجک آزمایش شده‌اند را بهبود می‌دهد.

واژه‌های کلیدی

پنهان‌شکنی، پنهان‌نگاری، تبدیل موجک، گشتاورهای تابع مشخصه.

۱- مقدمه

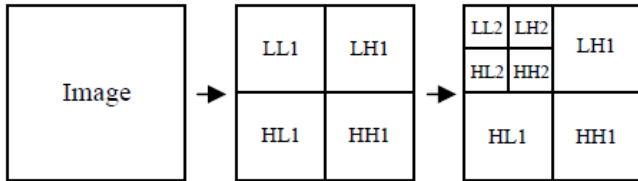
در پنهان‌نگاری دیجیتال، محیط دیجیتالی برای رمزگذاری و پنهان کردن دنباله‌ای از بیت‌های پیام، به گونه‌ای اصلاح می‌شود که ارتباط مخفی مورد شک قرار نگیرد. در پنهان‌شکنی دیجیتال، سعی می‌شود این نوع ارتباط پوشیده تشخیص داده شود [۱]. پنهان‌شکنی دو نوع است: پنهان‌شکنی فعال و پنهان‌شکنی غیر فعال. پنهان‌شکنی غیر فعال اقدام به تشخیص وجود یا عدم وجود پیام مخفی در تصویر می‌کند. اما پنهان‌شکنی فعال علاوه بر تشخیص وجود پیام به تخمین طول پیام، بیت‌های پیام، کلید رمز و ... می‌پردازد. پنهان‌شکنی فعال در مقایسه با پنهان‌شکنی غیر فعال بسیار مشکل‌تر است. تکنیک‌های پنهان‌شکنی اخیر بر روی حضور یا عدم حضور پیام مخفی تمرکز می‌کنند [۲].

از یک دیدگاه الگوریتم‌های پنهان‌نگاری به دو گروه تقسیم می‌شوند. دسته ای از آنها روش‌های حوزه مکان نام دارند که به طور مستقیم به سیگنال اعمال می‌شوند. دسته ای دیگر روش‌های حوزه تبدیل نام دارند که بر روی تبدیل یافته سیگنال اعمال می‌شوند. سه حوزه عمده تبدیل، تبدیل فوریه گسسته (DFT)، تبدیل کسینوسی گسسته (DCT) و تبدیل موجک

گسسته (DWT) می‌باشند [۳]. برای هر یک از الگوریتم‌های حوزه‌های تبدیل، روش‌های پنهان‌شکنی خاصی ارائه شده است. در این تحقیق یک روش پنهان‌شکنی غیر فعال که برای تصاویر پنهان‌نگاری شده در حوزه موجک بکار می‌رود، ارائه گردیده است.

فرید، یک روش پنهان‌شکنی ارائه کرد که در آن بوسیله فیلترهای آیینه‌ای متعامد (QMF) تصویر را در حوزه موجک تجزیه نمود. وی در روش خود آماره‌های مرتبه بالاتر شامل میانگین، واریانس، خمیدگی و درجه اوج نمودار آماری را از تابع چگالی احتمال مربوط به هر زیرباند تبدیل موجک تصویر استخراج کرد. وی همچنین آماره‌های مشابهی را از دامنه ضرایب پیش‌بینی شده هر زیرباند که بوسیله یک پیش‌بینی کننده خطی بهینه پیشگویی شده‌اند، استخراج نمود. ویژگی‌های بدست آمده برای دسته بندی به یک طبقه بندی کننده خطی فیشر (FLD) داده شدند [۴]. لیو و فرید، روش فرید را با ماشین بردار پشتیبان (SVM) به عنوان دسته بندی کننده بکار بردند. این روش به روش پنهان‌شکنی بر مبنای موجک (WBS) معروف است [۵].

عمودی (HL) و جزئیات قطری (HH) با ابعاد $\left\{\frac{N}{2} \times \frac{N}{2}\right\}$ تجزیه کرد [۹].
 با به کار بردن دوباره تبدیل موجک بر روی زیرباند تقریب LL1، چهار زیر
 باند تجزیه شده در سطح دوم تجزیه موجک حاصل می‌شود. شکل (۱)
 نحوه اعمال تبدیل موجک با دو سطح تجزیه را بر روی یک تصویر نشان
 می‌دهد.



شکل ۱: تبدیل موجک دو بعدی یک تصویر در دو سطح تجزیه [۱۰]

۲-۲- هیستوگرام مرتبه دوم

هیستوگرام مرتبه دوم یا ماتریس رخداد توام، معیاری از رخداد پیوستگی
 جفت‌هایی از پیکسل‌ها است که بوسیله فاصله و جهت مشخص شده از هم
 جدا شده‌اند. فاصله را با ρ و زاویه نسبت به محور افقی را با θ نشان می‌-
 دهیم. رابطه هیستوگرام مرتبه دوم به صورت زیر تعریف می‌شود:

$$h_d(j_1, j_2; \rho, \theta) = \frac{N(j_1, j_2; \rho, \theta)}{N_T(\rho, \theta)} \quad (1)$$

که $N(j_1, j_2; \rho, \theta)$ تعداد جفت پیکسل‌ها می‌باشد به گونه‌ای که j_1 مقدار
 پیکسل اول و j_2 مقدار پیکسل دوم است. $N_T(\rho, \theta)$ هم تعداد کل جفت
 پیکسل‌هایی از تصویر با جدایی (ρ, θ) است. هیستوگرام مرتبه دوم متنظر
 با یک آرایه دو بعدی، اغلب ماتریس وابستگی یا ماتریس رخداد توأم نامیده
 می‌شود [۱۱].

۲-۳- گشتاورهای تابع مشخصه

می‌دانیم اساساً هیستوگرام تصویر، تابع جرم احتمال تصویر (PMF) است.
 از ضرب هر مؤلفه PMF در یک ضربه واحد شیفیت یافته مربوطه، تابع
 چگالی احتمال (PDF) حاصل می‌شود. در مفهوم تبدیل فوریه گسسته
 بدیهی است که ضربه‌های واحد می‌توانند نادیده گرفته شوند. بنابر این
 PDF می‌تواند به عنوان نسخه نرمالیزه شده یک هیستوگرام در نظر
 گرفته شود. طبق [۱۲]، یک تفسیر از تابع مشخصه (CF) این است که
 CF تبدیل فوریه PDF است.

گشتاورهای تابع مشخصه یک هیستوگرام یک بعدی به صورت زیر
 تعریف می‌شوند:

$$M_n = \frac{\sum_{j=1}^N f_j^n |H(f_j)|}{\sum_{j=1}^N |H(f_j)|} \quad (2)$$

شی، روش پنهان‌شکنی را ارائه کرد که در آن ویژگی‌های مورد استفاده
 شامل گشتاورهای آماری توابع مشخصه تصویر اصلی، تصویر خطای
 پیشگویی شده و زیرباند های تبدیل موجک آنها می‌باشد. دسته بندی کننده
 مورد استفاده وی، شبکه عصبی مصنوعی است [۶].

در الگوریتم پنهان‌شکنی فراگیر ارائه شده توسط چن، ابتدا از مقادیر
 قدرمطلق ضرایب تبدیل کسینوسی گسسته بلوکی آرایه دو بعدی JPEG
 تصویر ورودی، بوسیله موجک هار تبدیل موجک سه سطحی گرفته می‌-
 شود. سپس برای هر زیرباند بدست آمده از آرایه دو بعدی JPEG، سه
 هیستوگرام مرتبه دوم افقی، عمودی و قطری تولید می‌شود. سپس برای هر
 هیستوگرام مرتبه دوم، گشتاورهای تابع مشخصه دو بعدی محاسبه می
 شوند [۷]. ونگ و همکاران نشان دادند که تغییرات در گشتاورهای آماری
 تابع مشخصه در اثر جاسازی پیام، نسبت به تغییرات گشتاورهای تابع
 چگالی احتمال بیشتر مشهود است [۸].

با توجه به اینکه روش‌های پنهان‌شکنی موجود اعمال شده بر روی
 تصاویر پنهان‌نگاری شده در حوزه تبدیل موجک، نرخ آشکارسازی بالایی را
 بدست نیاورده‌اند، در این مقاله سعی شده است روشی غیر فعال برای
 پنهان‌شکنی از تصاویر پنهان‌نگاری شده در حوزه تبدیل موجک با نرخ
 آشکارسازی بهتر ارائه شود. در روش ارائه شده چهار هیستوگرام مرتبه دوم
 افقی، عمودی، قطری و قطری آینه‌ای از تصویر تولید می‌شود. بعد از
 بکاربردن DFT دو بعدی بر روی هر هیستوگرام مرتبه دوم و بدست آوردن
 تابع مشخصه دو بعدی، دو نوع گشتاور تابع مشخصه حاشیه‌ای برای سه
 مرتبه اول (مراتب اول، دوم و سوم) در دو جهت فرکانسی محاسبه می‌-
 شوند. بردار ویژگی بدست آمده به SVM داده می‌شود تا در مورد پوشانه
 یا گنجانده بودن تصاویر تصمیم گیری کند. روش پیشنهادی برای پنهان‌-
 شکنی از دو روش پنهان‌نگاری در حوزه موجک جدید بکار گرفته شد. نتایج
 آزمایش‌ها نشان می‌دهد که روش پیشنهادی، نتایج آشکارسازی روش‌های
 پنهان‌شکنی موجود، که بر روی تصاویر پنهان‌نگاری شده در حوزه موجک
 آزمایش شده‌اند را بهبود می‌دهد.

در ادامه این مقاله، در بخش دوم چهار چوب نظری مورد استفاده در
 الگوریتم پیشنهادی پنهان‌شکنی شامل هیستوگرام مرتبه دوم، گشتاورهای
 تابع مشخصه و ماشین بردار پشتیبان معرفی می‌شوند. در بخش سوم به
 معرفی روش پیشنهادی پنهان‌شکنی برای پنهان‌شکنی از تصاویر پنهان
 نگاری شده در حوزه موجک پرداخته می‌شود. در بخش چهارم پایگاه داده
 مورد استفاده و آزمایش‌های انجام شده به همراه نتایج آنها آورده شده
 است. بخش پنجم هم به خلاصه و نتیجه گیری و ارائه پیشنهاداتی برای
 کارهای آینده اختصاص دارد.

۲- چهارچوب نظری

۲-۱- تبدیل موجک

تبدیل موجک یک روش متداول برای کاربردهای پردازش تصویر است. با
 بکار بردن تبدیل موجک بر روی یک تصویر با ابعاد $N \times N$ ، می‌توان آن را
 به چهار زیر بخش (زیر باند) تقریب (LL)، جزئیات افقی (LH)، جزئیات

که $H(f_j)$ مؤلفه CF در فرکانس f_j ، N تعداد نهایی نقاط در محور افقی هیستوگرام است. توجه کنید که $H(f_0)$ مؤلفه فرکانس صفر از CF، بخاطر اینکه فقط مجموع تمامی مؤلفه های هیستوگرام گسسته را معرفی می کند، عمداً از محاسبه گشتاورها خارج شده است. این مقدار برای یک تصویر، تعداد نهایی پیکسلها است که در طی فرایند مخفی سازی داده، تغییری نمی کند. حذف $H(f_0)$ در رابطه (۲) می تواند حساسیت گشتاورها را نسبت به مخفی سازی داده را افزایش دهد که این مطلب در [۱۳] نشان داده شده است.

به ازای $(n = 1)$ ، گشتاور مرتبه اول حاصل می شود که مرکز جرم تابع مشخصه هیستوگرام است. به ازای $(n = 2, 3)$ هم گشتاورهای مراتب دوم و سوم بدست می آیند و...

گشتاورهای تابع مشخصه یک هیستوگرام مرتبه دوم به صورت زیر تعریف می شوند:

$$M_{u,n} = \frac{\sum_{j=1}^N \sum_{i=1}^N u_i^n |H(u_i, v_j)|}{\sum_{j=1}^N \sum_{i=1}^N |H(u_i, v_j)|} \quad (3)$$

$$M_{v,n} = \frac{\sum_{i=1}^N \sum_{j=1}^N v_j^n |H(u_i, v_j)|}{\sum_{i=1}^N \sum_{j=1}^N |H(u_i, v_j)|} \quad (4)$$

که $H(u_i, v_j)$ مؤلفه تابع مشخصه دوبعدی در فرکانس (u_i, v_j) مربوط به DFT است و N تعداد نهایی مقادیر سطوح خاکستری تصویر است. همانطور که از روابط (۳) و (۴) ملاحظه می شود دو مجموعه گشتاور حاشیه ای مربوط به جهت های فرکانسی u و v می توان بدست آورد. باز هم به ازای $(n = 1, 2, 3)$ گشتاورهای مراتب اول و دوم و سوم بدست می آیند و... [۱۴].

۲-۴- ماشین بردار پشتیبان

ماشین بردار پشتیبان (SVM) یک تکنیک شناخته شده است که به طور گسترده برای طبقه بندی و مسائل رگرسیون مورد استفاده قرار می گیرد [۱۵]. برای اهداف طبقه بندی، SVM به عنوان یک تکنیک یادگیری بانظارت کار می کند که سعی می کند یک ابرصفحه با جدایی حاشیه ای حداکثری از دو کلاس را ایجاد کند (همچنین یک مسأله با بیش از دو کلاس می تواند به یک مسأله با دو کلاس کاهش داده شود [۱۶]). این ابرصفحه به عنوان نتیجه ای از مسأله بهینه سازی زیر بدست می آید:

$$\begin{cases} \text{Minimize } Z(\omega, \xi) = \frac{1}{2} \|\omega\|^2 + \frac{c}{m} \sum_{i=1}^m \xi_i \\ \text{Subject to } y_i (\langle \phi(x_i), \omega \rangle + b) \geq 1 - \xi_i \quad (i = 1 \dots m) \\ \xi_i \geq 0 \quad (i = 1 \dots m) \end{cases} \quad (5)$$

که m تعداد الگوهای آموزش، $\langle . \rangle$ ضرب نقطه ای، ϕ یک تابع انتقال ضمنی، y_i یک برچسب کلاسی (± 1)، x_i یک نقطه داده، ξ کران بالای خطا و C مقدار جریمه است [۱۷].

SVM برای اینکه بتواند مسأله ابعاد خیلی بالا را با استفاده از این روش ها حل کند، از قضیه دوگانگی لاگرانژ برای تبدیل مسأله مینیمم سازی مورد نظر به فرم دوگانگی آن، که در آن به جای تابع پیچیده ϕ که ما را به فضایی با ابعاد بالا می برد تابع ساده تری به نام تابع هسته (کرنل) که در آن ضرب برداری تابع ϕ ظاهر می شود، استفاده می کند. از توابع هسته مختلفی از جمله هسته های نمایی، چندجمله ای و سیگمایی و ... می توان استفاده نمود. هسته با انتقال $\phi(x_i)$ ، با تساوی $\phi(x_j) \cdot \phi(x_i) = k(x_i, x_j)$ در ارتباط است. یکی از هسته های متداول تابع پایه ای شعاعی (گوسین) (RBF) است که رابطه آن به صورت زیر هستند:

$$k(x_i, x_j) = e^{-\gamma \|x_i - x_j\|^2}, \text{ for } \gamma > 0 \quad (6)$$

که گاهی اوقات بوسیله $\gamma = \frac{1}{2\sigma^2}$ پارامتری می شود.

معمولاً یک روش اعتبار سنجی (CV) برای انتخاب بهینه پارامتر کرنل SVM بکار می رود و با توجه به اینکه روش های اعتبار سنجی هم لزوماً بهترین پارامتر را در اختیار ما قرار نمی دهند، همیشه احتمال اینکه بهترین پارامتر را نیابیم وجود دارد [۱۸].
یک روش اعتبار سنجی برای انتخاب پارامتر بهینه کرنل SVM در ادامه شرح داده می شود [۱۸]:

- ۱- لیستی از پارامترها را انتخاب می کنیم. برای هر پارامتر انتخاب شده، پنج مورد آزمایش اعتبار سنجی بر روی مجموعه آموزشی انجام می دهیم.
- ۲- پارامتری که منجر به کمترین نرخ خطای اعتبار سنجی می شود را انتخاب می کنیم.
- ۳- بهترین پارامتر را برای ایجاد یک مدل به عنوان پیش بینی کننده، بکار می بریم.

۳- روش پیشنهادی پنهان شکنی

در این بخش الگوریتمی برای پنهان شکنی تصاویر پنهان نگاری شده در حوزه موجک پیشنهاد می شود. در این الگوریتم ابتدا یک پیش پردازش بر روی تصاویر مورد آزمایش انجام می شود که طی آن تصاویر ورودی به تصاویر سطح خاکستری با ابعاد 512×512 پیکسل تبدیل می شوند. چهار هیستوگرام مرتبه دوم با چهار جدایی ذکر شده در معادله (۷) تولید می شود:

$$(\rho, \theta) = \left\{ (1, 0), \left(1, -\frac{\pi}{2}\right), \left(1, -\frac{\pi}{4}\right), \left(1, +\frac{\pi}{4}\right) \right\} \quad (7)$$

که به ترتیب هیستوگرام مرتبه دوم افقی، هیستوگرام مرتبه دوم عمودی و هیستوگرام مرتبه دوم قطری و هیستوگرام مرتبه دوم قطری آینه ای نامیده می شوند. این جدایی ها در شکل (۲) به ترتیب با زوج های (x, a) ، (x, b) ، (x, c) ، (x, d) مشخص می شود.

e	d
x	b
a	c

شکل ۲: همسایگان پیکسل x در جهت های افقی (b)، عمودی (a)، قطری (c) و قطری آینه ای (d)

۳- تصاویر معتبر X_{valid} را توسط SVM، برای هر پارامتر σ انتخاب شده آزمایش می‌کنیم.

۴- پارامتری که منجر به بیشترین نرخ پیش بینی درست می‌شود را می‌یابیم.

۵- بهترین پارامتر را برای ایجاد یک مدل به عنوان پیش بینی کننده در کرنل RBF و برای مرحله آزمایش بکار می‌بریم.

۴- نتایج آزمایشات

۴-۱- انتخاب پایگاه داده

محیط پیاده‌سازی برای آزمایش‌های عملی، برنامه مطلب نسخه (R2011b) 7.13.0.564 می‌باشد. آزمایشات بر روی ۱۳۰۰ تصویر از پایگاه داده تصاویر رنگی غیر فشرده (UCID) انجام گرفت. از آنجا که تصاویر این پایگاه رنگی بوده، همه آنها به تصاویر سطح خاکستری تغییر داده شدند. ۶۵۰ عدد از تصاویر، یک بار توسط روش پنهان‌نگاری در حوزه موجک خسروی [۱۹] و بار دیگر توسط روش پنهان‌نگاری در حوزه موجک معتمدی [۱۰]، پنهان‌نگاری می‌شوند. ۶۵۰ تصویر باقیمانده به عنوان تصاویر پنهان‌نگاری نشده (پوشانه) در نظر گرفته می‌شوند. در هر دو روش پنهان‌نگاری، تصویر Jet-F16 که در شکل (۳) نشان داده شده است، به عنوان پیام مخفی در نظر گرفته می‌شود.



شکل ۳: تصویر Jet-F16 به عنوان پیام مخفی

۴-۲- مقایسه نتایج پنهان‌شکنی روش پیشنهادی

در این قسمت، نتایج پنهان‌شکنی بدست آمده از روش پیشنهادی که بر روی روش‌های پنهان‌نگاری خسروی و معتمدی آزمایش شده‌اند، در جدول‌های (۱) و (۲) آورده شده است. همچنین نتایج روش پیشنهادی، با نتایج روش پنهان‌شکنی شی که بر روی روش پنهان‌نگاری خسروی آزمایش شده است [۱۹] و همچنین با نتایج روش پنهان‌شکنی فرید که بر

در روش پیشنهادی، بعد از بکاربردن DFT دو بعدی بر روی تمامی هیستوگرام‌های مرتبه دوم و بدست آوردن تابع مشخصه دو بعدی آنها، سه مرتبه اول (مراتب اول، دوم و سوم) از دو نوع گشتاور حاشیه‌ای تابع مشخصه در دو جهت فرکانسی از هر هیستوگرام مرتبه دوم استخراج می‌شود که به عنوان ویژگی برای دسته بندی استفاده می‌شوند. رابطه محاسبه تبدیل فوریه دو بعدی به شکل زیر است:

$$H(u, v) = \sum_{x=0}^{N_1-1} \sum_{y=0}^{N_2-1} h(x, y) e^{-j2\pi xu/N_1 - j2\pi yv/N_2} \quad (8)$$

که $h(x, y)$ مقدار هیستوگرام مرتبه دوم، N_1, N_2 ابعاد ماتریس هیستوگرام مرتبه دوم و $H(u, v)$ مقدار DFT دوبعدی می‌باشد.

با توجه به اینکه چهار هیستوگرام مرتبه دوم بر روی تصویر محاسبه می‌شوند و از هر کدام از آنها شش گشتاور حاشیه‌ای تابع مشخصه محاسبه می‌شوند، بردار ویژگی بدست آمده دارای ۲۴ بعد است. بردار ویژگی بدست آمده به ماشین بردار پشتیبان داده می‌شود تا در مورد پوشانه یا گنجانده بودن تصاویر تصمیم‌گیری کند. کرنل مورد استفاده در SVM، کرنل RBF می‌باشد.

روش اعتبارسنجی که برای انتخاب بهینه پارامتر σ از کرنل تابع پایه ای شعاعی در نظر گرفته شد، در ادامه شرح داده می‌شود:

۱- با توجه به اینکه پارامتر σ باید عدد صحیح مثبتی باشد، اعداد یک تا ۱۰۰ را به عنوان لیست پارامترها انتخاب می‌کنیم. دلیل این انتخاب آن است که با آزمایش‌های فراوان به این نتیجه رسیدیم که مقدار σ بهینه، تقریباً در همه موارد از ۱۰۰ کمتر است و چون می‌خواهیم الگوریتم بهترین عملکرد را در انتخاب پارامتر کرنل داشته باشد و خطای مرحله پیش‌بینی را به حداقل برسانیم، روش اعتبارسنجی را به ازای تمامی ۱۰۰ پارامتر انتخاب شده انجام می‌دهیم تا پارامتر بهینه بدست آید.

۲- مجموعه تصاویر در نظر گرفته شده برای آموزش را به دو قسمت X_{train} و X_{valid} تقسیم می‌کنیم. تعداد $\frac{3}{5}$ از تصاویر که نیمی از آنها پنهان‌نگاری شده اند و نیمی دیگر پاک هستند را به عنوان X_{train} برای آموزش در نظر می‌گیریم. تعداد $\frac{2}{5}$ دیگر از تصاویر را که نیمی از آنها پنهان‌نگاری شده اند و نیمی دیگر پاک هستند را به عنوان تصاویر معتبر X_{valid} جهت اعتبارسنجی در نظر می‌گیریم.

جدول ۱: مقایسه نتایج پنهان شکنی روش پیشنهادی با روش پنهان شکنی شی و روش پنهان شکنی فرید، که بر روی روش پنهان نگاری خسروی با نرخ درج متفاوت پیکسلی پیام مخفی آزمایش شده اند.

secret image size		256*256	128*128	64*64
Proposed Method	Detection Rate (%)	85	73.67	67.65
	Parameter σ	2	2	1
	Feature Number	24	24	24
Shi Method	Detection Rate (%) [19]	83.13	67.11	60.67
	Feature Number	78	78	78
Farid Method	Detection Rate (%) [19]	79.1	58.05	54.47
	Feature Number	24	24	24

جدول ۲: مقایسه نتایج پنهان شکنی روش پیشنهادی با روش پنهان شکنی فرید، که بر روی روش پنهان نگاری معتمدی با نرخ های درج متفاوت α آزمایش شده است.

Alpha_parameter		3	2	1	0.61
Proposed Method	Detection Rate (%)	96.67	96.67	95.67	55
	Parameter σ	1	1	1	87
	Feature Number	24	24	24	24
Farid Method	Detection Rate (%) [10]	%51 for $\alpha = 1.2$			
	Feature Number	24			

تصاویر پنهان نگاری شده در حوزه تبدیل موجک، نرخ آشکارسازی بالایی را بدست نیآورده اند، در این مقاله سعی شد تا روشی غیر فعال، برای پنهان شکنی از تصاویر پنهان نگاری شده در حوزه تبدیل موجک با نرخ آشکارسازی بهتر ارائه شود. در این الگوریتم ابتدا یک پیش پردازش بر روی تصاویر مورد آزمایش انجام می شود که طی آن تصاویر ورودی به تصاویر سطح خاکستری با ابعاد 512×512 پیکسل تبدیل می شوند. سپس چهار هیستوگرام مرتبه دوم افقی، عمودی، قطری و قطری آینه ای از تصویر تولید می شود. بعد از بکاربردن DFT دو بعدی بر روی هر هیستوگرام مرتبه دوم و بدست آوردن تابع مشخصه دو بعدی، دو نوع گشتاور تابع مشخصه حاشیه ای برای سه مرتبه اول (مراتب اول، دوم و سوم) در دو جهت فرکانسی محاسبه می شوند. بردار ویژگی بدست آمده دارای ۲۴ بعد است که به ماشین بردار پشتیبان داده می شود تا در مورد پوشانه یا گنجانده بودن تصاویر تصمیم گیری کند. کرنل مورد استفاده در SVM، کرنل RBF می باشد. روش پیشنهادی برای پنهان شکنی از دو روش پنهان نگاری

روی هر دو روش پنهان نگاری خسروی و معتمدی آزمایش شده است [۱۹ و ۱۰]، مورد مقایسه قرار گرفته است.

در جدول های (۱) و (۲) پارامتر σ مربوط به کرنل RBF از SVM که نرخ آشکارسازی بالاتری بدست می دهد، آورده شده است. با بررسی نتایج این جدول ها مشخص می شود که نتایج تحقیقات ما منجر به معرفی روشی شده است که نسبت به روشهای پنهان شکنی موجود فرید و شی، در پنهان شکنی از روشهای پنهان نگاری حوزه موجک خسروی و معتمدی بهتر عمل کرده است.

۵- نتیجه گیری و پیشنهادات

۵-۱- خلاصه و نتیجه گیری

با توجه به اینکه روش های پنهان شکنی موجود اعمال شده بر روی

- [9] S. Mallat, "A theory for multiresolution signal decomposition: the wavelet representation", IEEE Pattern Anal. and Machine Intell., vol. 11, no. 7, pp. 674–693, 1989.
- [10] H. Motamedi, A. Jafari, "A New Image Steganography Based on Denoising Methods in Wavelet Domain", 9th International Conference on Information Security and Cryptology (ISC), pp. 18-25, 2012.
- [11] W. K. Pratt, Digital Image Processing, 3rd Edition, John Wiley & Sons, Inc., 2001.
- [12] A. Leon-Garcia, Probability and Random Processes for Electrical Engineering, 2nd Edition, Reading, MA: Addison-Wesley Publishing Company, 1994.
- [13] Y.Q. Shi, "Image steganalysis based on moments of characteristic functions using wavelet decomposition, prediction-error image, and neural network", IEEE International Conference on Multimedia and Expo (ICME), pp. 269–272, 2005.
- [14] C. Chen, Y. Q. Shi, W. Chen, G. Xuan, "Statistical Moments Based Universal Steganalysis using JPEG 2-D Array and 2-D Characteristic Function", IEEE International Conference on Image Processing, pp. 105-108, 2006.
- [15] V. Vapnik, The Nature of Statistical Learning Theory. Information Science and Statistics: Springer, 1999.
- [16] C.-W. Hsu and C.-J. Lin, "A comparison of methods for multi-class support vector machines", IEEE Transactions on Neural Networks, vol. 13, no. 2, pp. 415–425, 2002.
- [17] J. Reyes-Lopez, S. Campos, H. Allende, R. Salas, "Zernike's Feature Descriptors for Iris Recognition with SVM", 30th International Conference of the Chilean Computer Science Society (SCCC), pp: 283 – 288, 2011.
- [18] Y. W. Chen, C. J. Lin, "Combining SVMs with various feature selection strategies", in the book "Feature extraction, foundations and applications", springer, 2006.
- [19] M. J. Khosravi, S. Ghandali, "A Secure Joint Wavelet Based Steganography and Secret Sharing Method", 7th International Conference on Information Assurance and Security (IAS), pp. 222-227, 2011.

در حوزه موجک جدید بکار گرفته شد. آزمایشات بر روی ۱۳۰۰ تصویر از مجموعه تصاویر رنگی فشرده نشده (UCID) انجام گرفته است. بخشی از تصاویر توسط دو روش پنهان‌نگاری در حوزه موجک خسروی و معتمدی، پنهان‌نگاری شدند. نتایج آزمایش‌ها نشان می‌دهد که روش پیشنهادی نسبت به روشهای پنهان‌شکنی بر مبنای موجک موجود فرید و شی، در پنهان‌شکنی از روشهای پنهان‌نگاری حوزه موجک خسروی و معتمدی بهتر عمل کرده است و نرخ آشکارسازی را افزایش داده است. با توجه به نتایج بدست آمده می‌توان نتیجه گرفت که روش پیشنهادی می‌تواند گزینه مناسبی برای پنهان‌شکنی از روش‌های پنهان‌نگاری شده در حوزه موجک باشد.

۵-۲- پیشنهادات کارهای آینده

جهت اعتبار سنجی نتایج بدست آمده از روش پنهان‌شکنی پیشنهاد شده، اعمال این روش پنهان‌شکنی بر روی تعداد بیشتری از الگوریتم‌های پنهان‌نگاری در حوزه موجک، پیشنهاد می‌شود. همچنین می‌توان روش پیشنهادی را بر روی روش‌های پنهان‌نگاری که در سایر حوزه‌ها انجام شده‌اند آزمایش کرد تا توانایی پنهان‌شکنی عام آن مشخص شود.

مراجع

- [1] R. Din and A. Samsudin, "Digital Steganalysis: Computational. Intelligence Approach," International Journal of Computers, vol. 3, Issue 1, pp. 161-170, 2009.
- [2] L.Wenzhe, X. Bo, Z. Zhe, R. Wenxia, "Active Steganalysis with Only One Stego Image", Sixth International Conference on Fuzzy Systems and Knowledge Discovery, Volume:5, pp: 345 - 348, 2009.
- [3] S. Bhattacharyya, I. Banerjee, G. Sanyal, "A Survey of Steganography and Steganalysis Technique in Image, Text, Audio and Video as Cover Carrier", Journal of Global Research in Computer Science, Vol.2, Issue 4, pp.1-16, 2011.
- [4] H. Farid, "Detecting hidden messages using higher-order statistical models", In: Proceedings of IEEE International Conference on Image processing, New York, USA, Volume 2, pp. 905-908, 2002.
- [5] S. Lyu, H. Farid, "Detecting hidden messages using higher-order statistics and support vector machines", in Proc.5th Int. Workshop on Info. Hiding, 2002.
- [6] Y.Q. Shi, "Image steganalysis based on moments of characteristic functions using wavelet decomposition, prediction-error image, and neural network", in IEEE Multimedia and Expo (ICME), pp. 269–272, 2005.
- [7] C. Chen, Y. Q. Shi, W. Chen, G. Xuan, "Statistical Moments Based Universal Steganalysis using JPEG 2-D Array and 2-D Characteristic Function", IEEE International Conference on Image Processing, pp. 105-108, 2006.
- [8] Y. Wang and P. Moulin, "Optimized feature extraction for learning-based image steganalysis", IEEE Transaction Inf Forensic Secur, volume. 2, Issue. 1, pp. 31-45, March. 2007.